

東北大学 大学院 学生員 田中 仁
東北大学 工学部 正員 首藤伸夫

1. はじめに

波と流れが共存する場における砂移動機構の解明は、工学上、極めて重要な事柄である。この方面における研究は遅々としていたもので、近年、ようやくその緒についたと言っても過言ではない。本論文では、波・流れ共存場における漂砂量公式を、浮遊砂雲の形成との関連より決定するための前段階として、共存場クリップル形状の無次元表示を試みた。

2. 無次元パラメータについて

一方流における底面形状、及び純粋な波動場におけるそれについては、かなり多くの研究がなされているにもかかわらず、波・流れ共存時のリップル形状については、過去において、二、三の研究例を見るのみである。この原因のひとつは、無次元表示する際に、いかなるパラメータを選びか、特に、代表流速として、いかなる値を採用するか、という点が不明である、などと思われる。そこで、以下では、著者らの理論¹⁾をもとて代表流速を定め、従来、得られておりデータをまとめてみることにする。

時間的に不变な渦動粘性係数を仮定するなどにより、波・流れ共存場の流速分布が導かれ、波動成分の振幅は次式で表わされる。

$$\frac{\hat{u}_w}{\hat{u}_w} = \text{Abs} \left\{ 1 - \frac{N_1(S_a) J_0(S) - J_1(S_a) N_0(S)}{N_1(S_a) J_0(S_a) - J_1(S_a) N_0(S_a)} \right\}, \quad S = Z e^{-iz\bar{x}} \sqrt{CZ}, \quad C = \frac{\sigma}{\bar{u}_w^*} \quad (1)$$

$S = K$ 。Absは $\{\}$ 内の複素関数の絶対値をとることを表す。他の記号の意味するところは、文献¹⁾を参照されたい。式(1)を無次元表示すると、図1を得る。一般に、 \bar{u}_w/\bar{u}_w は極めて大きく、 K 時、パラメータ $z\bar{x}$ は、流速分布にほとんど影響を及ぼさない。また、普通、 CZ は1より小さく、 $CZ=3$ 程度で、 $\bar{u}_w \approx \hat{u}_w$ となることわかる。そこで、共存時においても、 $Z=3$ での流速の最大値 \bar{u}_w をも、て代表流速とする。

$$\bar{u}_{cw} = u_{cw} \Big|_{z=3/C} = \frac{|\bar{u}_c|}{\ln(Z_0/Z_0) - 1} \ln \left(\frac{3\pi \bar{u}_{cw}^*}{\sigma Z_0} \right) + \hat{u}_w \quad (= \bar{u}_c + \hat{u}_w \text{ とかく。}) \quad (2)$$

さて、本間・城川・鹿島²⁾によれば、波によって形成される砂れんの大きさは、次の関係式で表わされる。

$$\lambda/d_0 = f_1(\gamma/\lambda), \quad d_0/\lambda = f_2(\hat{u}_w d_0/\nu) \quad (3)$$

γ/λ 入は、それがれ、砂れんの波高、及び波長であり、 d_0 は、ボテンシャル理論³⁾で与えられる底面水粒子軌道の全振幅である。 $d_0 = T \hat{u}_w / \pi$ である。 γ から、共存場⁴⁾は、

$$d_0' = T \bar{u}_{cw} / \pi \quad (4)$$

なる点を考えると、共存時の砂れんの大きさは、式(3)から類推して、

$$\gamma/\lambda = f_3(\gamma/d_0'), \quad d_0'/\lambda = f_4(\bar{u}_{cw} d_0'/\nu) \quad (5)$$

と表わされることが予想される。ただし、水粒子偏位量といふ、 d_0' のもう物理的意味を考えるなら、式(4)よりも、次式で定義される d_0'' を用いる方が妥当であると思われる。

$$d_0'' = Z \int_0^{t_1} (|\bar{u}_c| + \hat{u}_w \cos \omega t) dt \\ = T/\pi (|\bar{u}_c| \cos^{-1} \alpha + \hat{u}_w \sqrt{1-\alpha^2}) \quad (6)$$

$\gamma = K$ 、 $\alpha = -|\bar{u}_c| / \hat{u}_w$ 、 $t_1 = \cos^{-1} \alpha / \omega$ である。そして、式(5)と同様に、

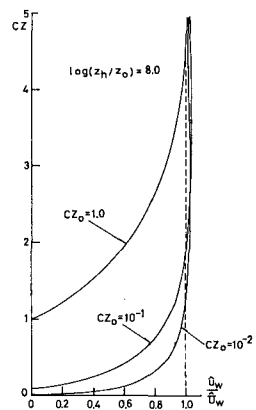


図1. 無次元流速分布

$$\gamma/\lambda = f_5(\gamma/d_0''), \quad d_0''/\lambda = f_6(U_{cw}d_0'')/\nu \quad (7)$$

なる関数関係を想定する。

3. 結果、及び考察

式(5)をもとにしてデータをまとめたのが、図2、図3である。データとしては、田中ら³⁾、Inman & Bowen⁴⁾、Abou-Seida⁵⁾のものを用いた。田中らは、順流(foll.)、逆流(opp.)の両方について実験を行なったが、後二者は、順流のみについて調べている。図2には、波のスケーリングについて、本間らが提唱している実験式を併せて記されているが、今回まとめたデータも、彼らの実験式の近傍にプロットされる。一方、式(7)に従って整理した結果が、図4、図5である。図2と図4の間に、特に顕著な差異は認められないが、図3と図5を比べると、図5ではAbou-Seidaの実験結果が右上方に移り、データは、全体的に点線の近くにちらばる様になる。ただし、本間らによれば、図中の点線は、 $d_{50} = 0.2 - 0.3 \text{ mm}$ に対応するところであるが、今回用いたデータは、 $d_{50} = 0.15 - 0.2 \text{ mm}$ である。図3では、幾分、疑問が残る。

以上のことより、波動場における水粒子軌道なる概念を、波流れ共存場にも拡張し、本間らと同様な無次元パラメータ群を考えることにより、共存時の砂れん、大きさを表示することができるようである。ただし、従来の実験範囲は極めて狭いもので、今後とも検討を重ねていくことが必要である。

4.まとめと今後の課題

- (1). 著者らの理論をもとにした代表流速を用いることにより、共存時のリップルサイズを統一的に無次元表示することができる。
- (2). 式(6)で $|a| > 1$ の時、水粒子軌道長さといふ考え方で成立せず、実験、Abou-Seidaのデータの中には、その様なものがあった。また、無次元パラメータの計算には、共存場の摩擦係数 f_{ow} を算出する必要があり、実用的とは言い難い。従って、今後、パラメータとして、より一般的かつ簡便なものを選定していく必要がある。
- (3). 現在のヒートは3、実験データの絶対量が少ないことで、様々な実験条件のもとで、データを蓄えていかなければならぬ。

《参考文献》

- 1). 田中・首藤：第2回海講論文集(1980).
- 2). 本間・堀川・鹿島：第11回海講論文集(1964).
- 3). 田中・小笠・小笠原：港研報告 Vol.12-4 (1973).
- 4). Abou-Seida : Tech. Rep. No. HEL-2-7, Berkeley,
Univ. of California (1964).

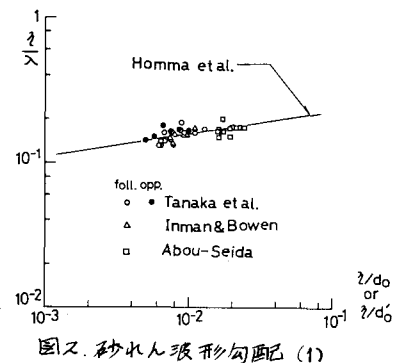


図2. 砂れん波形勾配 (1)

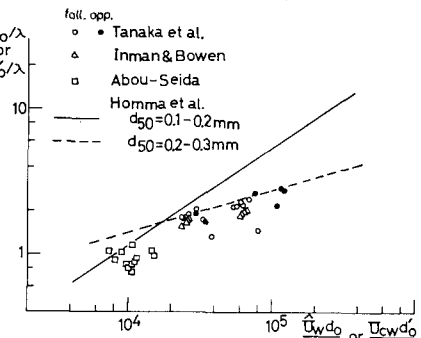


図3. 砂れん波長 (1)

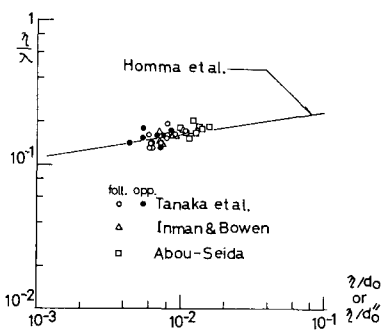


図4. 砂れん波形勾配 (2)

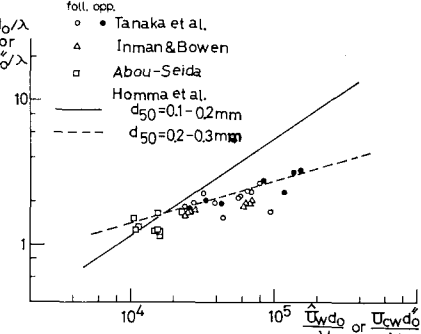


図5. 砂れん波長 (2)